基于点云深度学习的果树枝条实例分割算法

蒋心恺¹ 吴金涛² 王 锐² 王明亮¹ 杨 浩^{3,4}

JIANG Xinkai WU Jintao WANG Rui WANG Mingliang YANG Hao

摘要

果树枝条的实例分割对于探索果树表型至关重要。然而,在形态结构复杂、实例密度高的情况下,使用现有方法精确分割枝条仍具有挑战性。提出了一种结合局部相似性的新型三维深度学习方法,以实现果树枝条精确的语义和实例分割。所提出的方法首先利用 PointNet++ 网络模型对果树点云数据进行了高精度的语义分割,有效区分果树的主干、一级枝、二级枝和三级枝。随后,将提取的语义特征划分为多个局部区域,以降低计算复杂度,并为每个局部区域点生成一个相似性矩阵,以捕捉局部相似性信息。最后,使用双铰链损失函数对相似性矩阵进行优化,以完善实例分割结果。实验结果验证了此方法在准确分割果树枝条方面的有效性。实验结果表明此方法不仅省去了劳动密集型的实地测量,还为获取果树的表型参数提供了有价值的信息。

关键词

点云; 枝条实例分割; 三维深度学习; 相似性矩阵

doi: 10.3969/j.issn.1672-9528.2024.04.002

0 引言

果树枝条是果树根系水分吸收和蒸腾作用的桥梁,是为树叶、芽、花及果实提供营养的主要器官^[1]。从单株尺度上来看,果树枝条的结构直接影响果树的光能截获量,进而影响果树进行光合作用的整个过程。从果园尺度上来看,果树枝条的结构直接影响果园表面的摩擦力(表面阻力),进而影响果园与大气圈、水圈和岩石圈之间进行物质和能量交换的整个过程。因此,及时、准确地获取果树枝条表型信息能够为果园的智能化管理提供重要的数据支持,对果园灌溉管理病害防治、增产及提高果品品质具有重要意义^[2]。作为果树管理与科学研究的基础数据,果树枝条表型参数主要包括枝条类别、数量、位置、直径、长度、夹角和体积等。目前获取这些表型参数的常规方法是人工测量与估算法,这些方法普遍存在主观性、低效性和破坏性,且人工成本较高^[3]。因此,有必要对果树表型参数的自动提取开展进一步的研究,为后期智慧果园的建立提供精确数据支撑。

1. 南京信息工程大学计算机学院 江苏南京 210044

近地遥感技术的发展为全面监测果园生产提供了有效手段,而果园生产被公认为是推进高产、高效、环保型现代农业实践的关键^[4-5]。三维激光扫描技术(即光探测与测距技术,LiDAR)能够快速获取数据,拥有高分辨率和强大的视觉解读能力等优势^[6],为快速获取植物的三维轮廓数据提供了新方法,其在提取结构参数方面的优越性已通过大量成功案例得到证实^[7-11],是获取果树枝条表型信息的理想方法^[12]。然而,果树形态结构的复杂性意味着果树的点云数据不可避免地包含不同类别的枝条,包括主干和各级枝条^[13],从复杂点云数据中提取特定枝条的精确表型信息具有挑战性。

点云数据的非结构化特性使传统的数据分析和表示方法 无法完全解决复杂而抽象的问题,如实例分割^[14]。近年深度 学习技术的出现,为从高维、广泛的非结构化数据中提取复 杂的结构信息提供了重要手段^[15-16]。目前,三维点云深度学 习与激光雷达技术的结合已成为植物表型领域的突出研究重 点^[17-18],而在室外环境中精确获取结构形态复杂的果树表型 信息仍是一项具有挑战性的工作,包括点云数据质量低、数 据量大、枝条分布密集等问题^[19]。

大多数现有方法采用 mini-PointNet 网络模块来提取点云特征 ^[20]。这种方法利用多层感知机对邻域内离散点的特征进行编码,在提供精确的局部信息方面面临挑战。针对此问题,本文提出了一种基于局部相似性测量的果树枝条实例分割方法。该方法不仅能准确捕捉局部特征,还能将局部特征与全局特征结合,实现对复杂果树枝条的精确分割。

^{2.} 南京信息工程大学软件学院 江苏南京 210044

^{3.} 北京市农林科学院农业农村部农业遥感机理与定量遥感重点实验室 北京 100097

^{4.} 国家农业信息化工程技术研究中心 北京 100097

[[]基金项目] 国家自然科学基金青年基金 (62102188); 江苏省自然科学基金青年基金 (BK20210647); 中国博士后科学基金 (2021M700076); 江苏省高等学校自然科学研究项目 (23KJB520020)

1 基本原理

本文研究的目标是以苹果树的三维点云为输入,预测每个点在枝条层面的实例标签,然后根据每个实例提取树枝的表型性状,方法的工作流程如图 1 所示。首先用受 Point-Net^[21] 启发的前向反馈特征提取网络处理点云,提取语义特征,再将输入点云划分为多个局部区域(基于球查询策略),并通过微小的 PointNet 框架提取这些区域的点特征,将其与相应的语义特征联系起来,形成局部区域点特征。然后从每个局部区域抽取n个局部区域点特征(基于最远点采样策略),形成相似性矩阵。最后,经过非极大值抑制(NMS)操作,合并相似组,并为每个点分配一个实例标签。

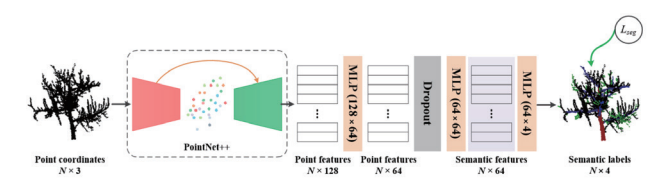


图 1 语义特征学习模块

1.1 语义特征学习

具有不同语义标签(主干 MT、一级枝 1st-B、二级枝 2nd-B、三级枝 3rd-B)的分支易被识别为不同的分支实例,因此,本文提出方法第一步就是提取语义特征。本文将三维点云输入 PointNet++ 框架 $^{[22]}$,以学习局部和全局特征,然后通过多个多层感知器(MLP)和一个 Dropout 层防止过拟合,从而获得语义特征。这些语义特征通过语义损失 L_{sem} (点交叉熵) $^{[23]}$ 来学习,其有助于区分具有不同语义标签的分支。该模块的相关网络细节如图 1 所示,其中 N 是输入点的数量, $N\times 3$ 表示每个点的输入特征,即三维坐标。通过该模块,可获得输入点的语义特征。

1.2 局部区域采样

语义信息可用于识别分支顺序,而无法直接用于区分同一类别的分支实例。与语义分割的重点不同,实例分割更侧重同一类别中不同对象的标签分配问题 [24]。由于果树的生长特点,枝条实例分割的任务难度较大,尤其是数量大、密度高的二级枝和三级枝。

在果树点云中,相距较近的两个点比相距较远的点更有可能属于同一个实例。本文选取完整的果树点云 D 和二级枝点云 S(其中 $S \subset D)$,发现:

$$\begin{split} &\left| D - S \right| / \left| D \right| > 99.23\% \\ &\max(\left\{ d \mid d = \left\| p_i - p_j \right\|_2 (p_i, p_j \in S) \right\}) / f < 0.4 \end{split}$$

式中: || 计算列表中点的个数,||| 表示两点之间的距离, p_i 表示点云中的点,f 是 D 中两点之间的最远距离。

通过上述统计,总结出枝条的实例分割问题中,考虑整 棵树会存在大量无意义的点。此外,同一实例中各点之间的 距离较小,特别是二级枝和三级枝。在此基础上,根据点的 位置将输入点云划分为多个局部区域,能为准确的实例分割 提供有价值的数据。

按本文方法,首先从输入点云($B \times N \times 3$)中随机采样(训练:随机采样,测试:最远点采样),再用查询方法在采样点周围构建一组局部区域,其工作原理是在采样点半径 r 范围内随机选取 K 个点(本文中,r 和 K 分别设置为 0.45 和 1024)。除生成大小为 $(B \cdot d) \times K \times 3$ 的局部点集 C^l 之外,该层还有以下输出。

- (1) 局部语义特征 F_{sem}^l (与 C^l 相对应), 大小为 $(B\cdot d)\times K\times 64$, 用于后续的特征连接。
- (2) 局部语义标签 P_{sem}^l (与 C^l 相对应),大小为 $(B\cdot d)\times K\times 4$,用于计算损失值。
- (3)局部点索引 I^{l} (与 C^{l} 相对应),大小为 $(B \cdot d) \times K$,用于记录点在局部区域的全局位置(该信息由球查询自动生成)。
- (4)局部真实值(Ground Truth),包括语义标签 G_{sem}^l 大小为 $(B\cdot d)\times K\times 4$,实例标签 G_{ins}^l 大小为 $(B\cdot d)\times K$,用于计算损失值。

其中,B是输入的批量大小,d是局部区域的数量,K是局部区域的点数。

本文进一步对局部细化特征提取层进行操作。输入局部点集 C^l ,使用微小的 PointNet++ 架构提取局部区域的点特征(表示为 F_p^l)。如上所述,从这些离散的局部区域提取能代表整棵果树语义信息的特征较为困难,而语义特征的损失将直接影响实例分割的准确性。因此,本文将点特征 F_p^l 与相应的局部语义特征 F_{sem}^l 相连接,通过单层感知器共同生成细化特征。

经过上述两层操作后,输入点云被划分为多个局部区域。 其好处是:局部区域中包含的实例数量远少于输入实例的数量,有利于降低实例分割的误判率;局部区域中包含的点的数量远少于输入点的数量,有利于提高计算效率。

1.3 相似性矩阵

本节重点论述如何对局部区域内的分支进行实例分割,现有方法可分为两类:基于检测和无检测的方法^[25]。

基于检测的方法 [26-28] 通过使用检测模块屏蔽不同的对象,能较好处理上述随机实例标签和不规则的实例数量。但当多个检测框重叠时,其无法确定重叠区域中每个点的标签。同时,未被任何检测框覆盖的点都会被视为背景点,造成枝条表型分析中的信息损失。

本文吸取无检测方法的优点,提出了一个从特征空间量

化点相似性的相似性矩阵S。一种衡量点间相似性的直接方 法是计算每对点间的距离(特征空间中的欧氏距离)。例如, Wang 等人[29] 通过简单减去每一对点对应的特征向量并取 L2 准则,生成了一个尺寸为 $N \times N$ (N代表点数)的相似性矩阵。 然而,此方法耗费大量内存,且相似性矩阵的规模随点的数 量呈指数增长,不利于后续处理。一般情况下,属于同一实 例的点在三维空间中的位置相似,因此只计算"代表点"之 间的距离, 生成 n 个广泛分布的点作为"代表点", 大致代 表树枝的形状。本文采用最远点采样完成该任务, 计算采样 点与其他各点之间的距离, 并将距离最大的点加入采样集。

对n个点进行采样,计算每对关键点 $\{P_i, P_i\}$ 对应的细 化特征向量,从而得到相似性矩阵 S, 即 $S_{ii} = ||F_{SIMi} - F_{SIMi}||_2$ 。 相似性矩阵 S 的维数为 $n \times n$, 元素 S_{ii} 用于分类关键点 P_i 和 P_i 是否属于同一枝条实例。

此方法下的优化目标是相似关键点在特征空间中较近, 无需精确回归细化特征的确切值。因此,本文借鉴 Wang 等 人提出模型的优点,对相似性矩阵的双铰链损失定义为:

$$L_{sim} = \sum_{i}^{M} \sum_{j}^{M} l(i, j)$$
 (2)

$$l(i,j) = \begin{cases} \|F_{p}^{i} - F_{p}^{j}\|_{2} & R_{ij} = 1\\ \alpha \max\left(0, T_{ins} - \|F_{p}^{i} - F_{p}^{j}\|_{2}\right) & R_{ij} = 2\\ \max\left(0, T_{seg} - \|F_{p}^{i} - F_{p}^{j}\|_{2}\right) & R_{ij} = 3 \end{cases}$$
(3)

式中: R_{ij} 表示关键点对 $\{P_i, P_i\}$ 之间的关系, $R_{ij} = 1$ 表示关键 点对具有相同的枝条实例标签; $R_{ii}=2$ 表示关键点对具有不 同的枝条实例标签,但具有相同的语义标签; $R_{ii}=3$ 表示关 键点对具有不同的枝条语义标签; T_{ins} 、 T_{seg} 为常数 $(T_{seg} > T_{ins})$, 可使 S 的优化结果满足以下条件: 当 $R_{ii} = 1$ 时, $S_{ii} < T_{ins}$; 当 $R_{ij}=2$ 时, $T_{ins} \leq S_{ij} \leq T_{seg}$; 当 $R_{ij}=3$ 时, $S_{ij} > T_{seg}$; α ($\alpha > 1$) 是 一个惩罚因子,用于在 $R_{ii} = 2$ 的情况下增加损失权重,避免 关键点对之间的距离过近。

通过额外 MLP 层对 S 进行反馈,以预测 $n \times 1$ 置信度图 CM,反映模型每个分组正确枝条实例的可信度。本文根据 Ground Truth 组 G 来回归置信度得分,G 表示为与 S 相同形 式的 $n \times n$ 矩阵, 其生成基于上文提到的 G_{ins}^{l} , 若关键点 P_{i} 和 P_i 属于同一枝条实例,则 $G_{ii} = G_{ii} = 1$, 否则 $G_{ij} = G_{ii} = 0$ 。该 任务可通过矩阵增强、转置和减法解决, 无需逐点扫描, 能 迅速生成 G。 S 每一行都可看作是一个拟分组的关键点,其 构成一个候选枝条实例。置信图中的真实值是预测组 S 中的 点集与 Ground Truth 组 G 之间的交集。本文的损失 L_{CF} 是真 实 CM 与预期 CM 之间的 L_2 损失。

在测试阶段,将相似度矩阵S中的值化为0和1,其中 相似度矩阵的元素值小于 Tins 的视为 1, 表示两个关键点来

自同一枝条实例,即相似性矩阵S可看作是任意两个关键 点之间的相邻图表示,由此来自同一枝条实例的关键点的分 组可看作是寻找图中所有连通成分的问题。本文利用矩阵的 幂次解决此问题, 计算相似性矩阵的 k 次幂, 得到连接矩阵 CM, CM 每一行表示一个关键点和其他关键点是否在同一组 中。通过计算所有点到每个关键点的距离,将局部区域中的 点映射到不同的组中,形成多个局部区域片段。其中,局部 区域段的置信度是其包含的关键点中置信度最高的一个。虽 然由同一相似性矩阵生成的多个分段中不存在重复点, 但一 棵完整的果树包含多个局部区域(相似性矩阵),可能导致 相邻局部区域之间的重叠。为确保后期枝条分割的唯一性, 本文应用非极大抑制方法,将 IoU 大于 0.7 的枝条合并,进 而将整棵树修剪成干净、无重叠的枝条信息。

2 分析与讨论

2.1 研究区域和数据采集

本文实验地点位于山东省栖霞市,实验基地占地约0.4 公顷,苹果树株行距为4m×4m,每公顷种植密度约为583株。 实验数据使用背负式激光雷达(LiDAR)系统和地面激光扫 描仪 (TLS) 获取。本文使用 LiBackpack DG50 (STD 16E) 激光雷达设备,其扫描精度为5cm。利用波长为903 nm的 激光, 其最大激光扫描距离可达 100 m。该激光雷达系统的 扫描频率为每秒 600 000 点。此外, LiBackpack DG50 的水 平视场角从0°到360°不等,能够全面覆盖周围环境;垂直 视场角从-90°到90°不等,便于从不同角度采集数据。为 防止重复采集数据,在数据采集过程中采用了U型路径。

采集所得数据利用 LiDAR360 点云处理软件进行标记, 训练深度学习模型建立可靠的 Ground Truth 数据集。本文从 试验区内随机选取8棵苹果树,确保其完整的结构和高密度 的点云枝条。为扩展数据集,对选定果树进行旋转变换,沿 Z轴每5°旋转一次。对于数据集的划分,本文将70%的数 据用于训练,剩余30%的数据用于测试训练后的模型。通过 这种划分,可以评估模型在数据样本上的性能[30]。

2.2 评价指标

本节重点介绍评估该方法语义分割和实例分割性能的 评估方案。用于衡量分割性能的评价指标包括精确度 Precision、召回率 Recall、交并比 IoU、平均覆盖率 mCov 和平均 加权覆盖率 mwCov^[31]。这些指标的计算方法为:

$$Precision = \frac{N_{TP}}{N_{TP} + N_{FP}} \tag{4}$$

$$Recall = \frac{N_{TP}}{N_{TP} + N_{FN}} \tag{5}$$

$$Recall = \frac{N_{TP}}{N_{TP} + N_{FN}} \tag{5}$$

$$IoU = \frac{|P_b \cap G_b|}{|P_b \cup G_b|} \tag{6}$$

$$mCov(G,P) = \frac{1}{|G|} \sum_{g \in F} \max_{g \in P} IoU(g,p)$$
(7)

$$w_g = \frac{|g|}{\sum_{g' \in G} |g'|} \tag{8}$$

$$mwCov(G, P) = \frac{1}{|G|} \sum_{g \in G} w_g \max_{p \in P} IoU(g, p)$$
(9)

在评估指标中, N_{TP} 代表预测与实际均为正例的数量, N_{FP} 代表预测正例而实际负例的数量, N_{FN} 代表预测负例而实 际正例的数量。符号||表示集合中元素的基数或数量,G表 示由真实实例组成的 Ground Truth 集,G 中的每个实例都用 符号 g 表示, P 表示从分割算法中获得的预测值集合, 每个 预测实例用符号 p 表示。这些评估指标提供了分割性能的量 化衡量标准,有助于评估所提出的苹果树枝条语义分割和实 例分割方法的准确性和可靠性[32]。

2.3 实验结果

表 1 列出了利用三维点云数据对果树枝条进行语义分割 的结果。用于评估分割性能的评价指标是精确度、召回率和 交并比 IoU。

表 1 果树枝条的语义分割结果

Label	Precision		Recall		IoU	
	Mean	Max	Mean	Max	Mean	Max
Main Trunk, MT	0.93	0.98	0.91	0.96	0.89	0.92
First-Order Branch, 1st-B	0.61	0.80	0.73	0.93	0.52	0.61
Second-Order Branch, 2 nd -B	0.71	0.78	0.52	0.63	0.43	0.60
Third-Order Branch, 3 rd -B	0.28	0.51	0.40	0.67	0.20	0.32

在表 1 中, 主干类别的平均精确度为 0.93, 表明对属于 主干的点进行分类的精确度相对较高, 其最高精确度值可达 0.98, 在准确识别主干区域方面表现出色。主干的平均召回 值为 0.91, 在检测实际主干点的能力较强, 其最大召回值同 样体现高成功率。此外, 主干平均 IoU 为 0.89, 可得预测的 主干区域与真实区域有很大重叠。

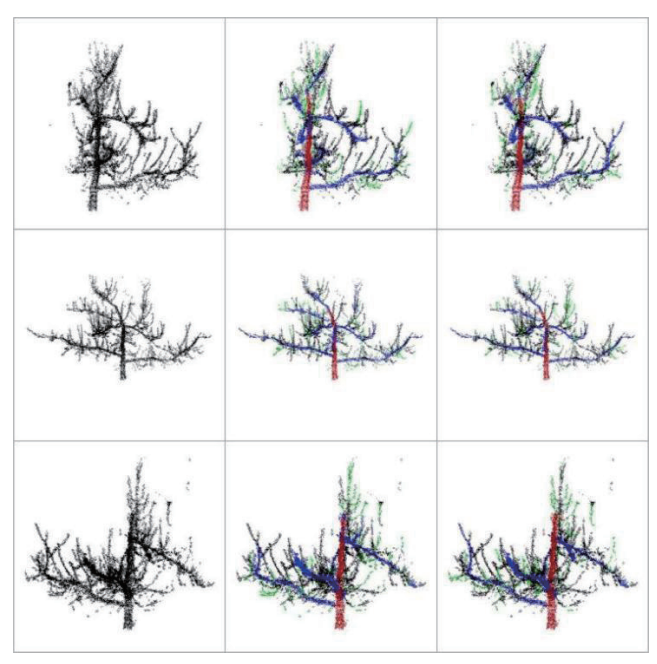
一级枝条的平均精确度为0.61,分类效果适中,而最高 精确度为0.80,能够在某些情况下实现精确分类。平均召回 率 0.73 表明检测实际一级枝条点的能力较好, 而最大召回率 值为 0.93, 效果优秀。平均 IoU 为 0.52, 表明预测的一级枝 条区域与真实的一级枝条区域之间存在中等程度的重叠,而 最大 IoU 值为 0.61, 保证部分情况能有较高的重叠。

对于二级枝条类别,平均精确度值为0.71与最大精确度 值 0.78 相差较小, 其在总体情况下均能较好识别。检测实际 二阶枝条点的能力适中,平均召回值仅为0.52,最大召回值 仅为 0.63。预测的二级枝条区域与真实区域重叠略小,平均 IoU 仅为 0.43, 而最大 IoU 值可达 0.60, 表明某些情况下能 有较好性能。

三级枝条仅有 0.28 的平均精度值, 分类情况较差。平 均召回值为0.40,实际三级枝条点的识别能力一般,而最 大召回值为 0.67, 能在部分情况准确检测。平均 IoU 为 0.20, 表明预测的三级枝条区域与真实区域之间的重叠程度相对 较低。

结果表明,使用三维点云数据对不同果树枝条类别进行 语义分割的性能水平各不相同。主干类别获得了相对较高的 精确度、召回率和 IoU,分割准确且一致。然而,低级枝条 的三个值均有所下降,表明在三维点云数据中准确分割更小、 更复杂的枝条结构面临挑战。

图 2 展示了使用本文提出的方法获得的语义分割结果。 左侧部分显示输入的果树点云,中间部分显示本文方法生成 的分割结果, 右侧部分是相应的真实数据注释。本文方法的 分割结果显示令人满意的性能, 尤其是对主干和一级枝条的 分割。但是,三级枝条结构较为复杂精细,同时存在背负式 激光雷达的扫描误差,其分割精度相对较低。尽管如此,本 文的方法依旧表现出良好的分割能力,突出了其在准确划分 果树枝条方面的成效。



(a) Inputs (b) Segmentation (c) Ground Truth 图 2 测试数据集分割结果的可视化展示

表 2、表 3 列出了对果树枝条进行实例分割的结果, 以精确度、召回率、平均覆盖率 mCov 和平均加权覆盖率 mwCov 作为评价指标来评估性能。

表 2 果树枝条实例分割的精确度、召回率

Label	Prec	ision	Recall	
Label	Mean	Max	Mean	Max
Main Trunk, MT	0.96	0.99	0.89	0.97
First-Order Branch, 1st-B	0.59	0.78	0.65	0.87
Second-Order Branch, 2nd-B	0.60	0.80	0.44	0.54
Third-Order Branch, 3rd-B	0.48	0.93	0.54	0.74

表 3 果树枝条实例分割的平均覆盖率、平均加权覆盖率

Label	mC	Cov	mwCov	
Label	Mean	Max	Mean	Max
Main Trunk, MT	0.92	0.98	0.92	0.98
First-Order Branch, 1st-B	0.47	0.66	0.51	0.68
Second-Order Branch, 2nd-B	0.31	0.42	0.33	0.44
Third-Order Branch, 3rd-B	0.16	0.24	0.17	0.28

整体评估方面,实验结果表明,本文在实例分割方面取得了较好的成效。主干类别的精确度高达 0.96,表明在正确识别主干实例方面具有很高的准确性。召回值为 0.89,表明该模型能够有效地检测到实际的主干实例。此外,mCov和mwCov均为 0.92,表明预测实例和真实实例之间存在大量重叠和一致性。

同时,存在具体挑战,尤其是三级枝条的精确度值为0.48, 召回值为0.54,表明很难准确区分不同的三级枝条实例。三 级枝条的密度较高且错综复杂,给精确分割带来较大挑战。 mCov 和 mwCov 值相对较低,仅为0.16 左右,与其他枝条 类别相比,其覆盖范围和一致性都有所减弱。

综上所述,本文模型在分割果树枝条方面表现出优秀的性能,尤其是在主干实例方面。然而,事实证明,分割更小、更复杂的枝条如三级枝条更具挑战性。针对这些局限性,还可进一步改进,以提高模型准确分割复杂枝条结构的能力。

3 结论

果树枝条的实例分割是探索果树表型的关键一步。然而,由于形态结构复杂、实例密度高,现有方法很难实现精确的实例分割^[33]。本文提出了一种基于三维点云数据、考虑局部相似性的度量学习方法,成功实现了果树枝条的语义和实例分割。本文采用 PointNet++ 网络对果树进行语义分割,将提取的语义特征划分为多个局部区域,以降低计算复杂度。随后,为每个局部空间点生成相似性矩阵,并使用双铰链损失函数进行优化。实验结果表明,所提出方法能够准确地对原始果树点云进行语义分割,区分主干、一级枝、二级枝和三级枝。此外,该方法通过有效区分枝条级别的不同实例,实现了精确的实例分割。

然而,该方法在准确分割较小的枝条如三级枝方面仍存 在局限性。未来的工作重点是提高较小枝条的实例分割准确 性,并压缩模型以部署在边缘设备上,降低能耗和延迟。

总之,本研究提出了一种利用三维点云数据对果树枝条进行精确语义和实例分割的新型度量学习方法。实验结果凸显了此方法在精确区分不同枝条实例方面的有效性,并为该领域的进一步研究提供了启示。

参考文献:

[1]WU J, YANG G, YANG H, et al. Extracting apple tree crown information from remote imagery using deep learning[J].

- Computers and electronics in agriculture, 2020, 174: 105504.
- [2]MU Y, FUJII Y, TAKATA D, et al. Characterization of peach tree crown by using high-resolution images from an unmanned aerial vehicle[J]. Horticulture research, 2018, 5(1):74.
- [3]LI Z, GUO R, LI M, et al. A review of computer vision technologies for plant phenotyping[J]. Computers and electronics in agriculture, 2020, 176: 105672.
- [4]MODICA G, MESSINA G, LUCA G, et al. Monitoring the vegetation vigor in heterogeneous citrus and olive orchards. a multiscale object-based approach to extract trees' crowns from UAV multispectral imagery[J]. Computers and electronics in agriculture, 2020, 175: 105500.
- [5]FENG L, CHEN S, ZHANG C, et al. A comprehensive review on recent applications of unmanned aerial vehicle remote sensing with various sensors for high-throughput plant phenotyping[J]. Computers and electronics in agriculture, 2021, 182: 106033.
- [6] 崔团团,李晓天.基于多特征融合和神经网络的机载 LiDAR点云分类[J].信息技术与信息化,2020(9):37-39.
- [7]YUN T, CAO L, AN F, et al. Simulation of multi-platform LiDAR for assessing total leaf area in tree crowns[J]. Agricultural and forest meteorology, 2019, 276: 107610.
- [8]YUN T, JIANG K, LI G, et al. Individual tree crown segmentation from airborne LiDAR data using a novel gaussian filter and energy function minimization-based approach[J]. Remote sensing of environment, 2021, 256: 112307.
- [9]JIN S, SU Y, WU F, et al. Stem-leaf segmentation and phenotypic trait extraction of individual maize using terrestrial LiDAR data[J]. IEEE transactions on geoscience and remote sensing, 2018, 57(3): 1336-1346.
- [10]JIN S, SU Y, GAO S, et al. Separating the structural components of maize for field phenotyping using terrestrial LiDAR data and deep convolutional neural networks[J]. IEEE transactions on geoscience and remote sensing, 2019, 58(4): 2644-2658.
- [11]LEI L, LI Z, WU J, et al. Extraction of maize leaf base and inclination angles using Terrestrial Laser Scanning (TLS) data[J]. IEEE transactions on geoscience and remote sensing, 2022,8:25-26.
- [12]HUANG Y, REN Z, LI D, et al. Phenotypic techniques and applications in fruit trees: a review[J]. Plant methods, 2020, 16(1): 1-22.
- [13]ITAKURA K, MIYATANI S, HOSOI F.Estimating tree structural parameters via automatic tree segmentation from

- LiDAR point cloud data[J].IEEE journal of selected topics in applied earth observations and remote sensing, 2022,15:555-564.
- [14]LIANG Z, YANG M, LI H, et al. 3D instance embedding learning with a structure-aware loss function for point cloud segmentation[J].IEEE robotics and automation letters, 2020,5:4915-4922.
- [15]ZHOU H, CHEN H, FENG Y, et al. Geometry and learning co-supported normal estimation for unstructured point cloud[C]//Proceedings of the IEEE/CVF Conference On Computer Vision and Pattern Recognition.Piscataway:IEEE, 2020: 13238-13247.
- [16] 王可,沈川贵,罗孟华.基于深度学习的图像语义分割方法综述[J].信息技术与信息化,2022(4):23-30.
- [17] JIN S, SU Y, ZHAO X, et al. A point-based fully convolutional neural network for airborne lidar ground point filtering in forested environments[J]. IEEE journal of selected topics in applied earth observations and remote sensing, 2020, 13: 3958-3974.
- [18]LI D, SHI G, LI J, et al. PlantNet: a dual-function point cloud segmentation network for multiple plant species[J]. ISPRS journal of photogrammetry and remote sensing, 2022, 184: 243-263.
- [19]JAVAHERI A, BRITES C, PEREIRA F, et al.Point cloud rendering after coding: impacts on subjective and objective quality[J].IEEE transactions on multimedia, 2021,23:4049-4064.
- [20]ZHANG F, FANG J, WAH B, et al. Deep fusionnet for point cloud semantic segmentation[C]//Computer Vision-ECCV 2020: 16th European Conference, Glasgow, UK, August 23–28, 2020, Proceedings, Part XXIV 16. Berlin:Springer International Publishing, 2020: 644-663.
- [21]QI C, SU H, MO K, et al. Pointnet: deep learning on point sets for 3D classification and segmentation[C]// Proceedings of the IEEE Conference on Computer Vision and Pattern Recognition(CVPR). Piscataway: IEEE, 2017: 652-660.
- [22]QI C, YI L, SU H, et al. Pointnet++: deep hierarchical feature learning on point sets in a metric space[J]. Advances in neural information processing systems, 2017, 30:5105-5114.
- [23]ZHAO L, ZHOU H, ZHU X, et al. LIF-Seg: LiDAR and camera image fusion for 3D LiDAR semantic segmentation[J]. IEEE transactions on multimedia, 2023,26:1158-1168.
- [24]JIANG L, ZHAO H, SHI S, et al. Pointgroup: dual-set point grouping for 3D instance segmentation[C]//Proceedings of the IEEE/CVF conference on computer vision and pattern recognition.Piscataway:IEEE,2020: 4867-4876.
- [25]ZHANG S, LI R, DONG X, et al. Pose2seg: Detection free

- human instance segmentation[C]//Proceedings of the IEEE/CVF conference on computer vision and pattern recognition. Piscataway:IEEE,2019: 889-898.
- [26]HE K, GKIOXARI G, DOLLAR P, et al. Girshick. Mask R-CNN[C]//IEEE International Conference on Computer Vision.Piscataway:IEEE, 2017:2980-2988.
- [27]HOU J, DAI A, MATTHIAS N. 3D-SIS: 3D semantic instance segmentation of RGB-D scans[C]// IEEE Conference on Computer Vision and Pattern Recognition. Piscataway:IEEE,2019:4421-4430.
- [28]LI Y, WANG Z, HE W, et al. GSPN: generative shape proposal network for 3D instance segmentation in point cloud[C]//IEEE Conference on Computer Vision and Pattern Recognition.Piscataway:IEEE,2019:3947-3956.
- [29] WANG W, YU R, HUANG Q, et al. Sgpn: Similarity group proposal network for 3D point cloud instance segmentation[C]//IEEE Conference on Computer Vision and Pattern Recognition.Piscataway:IEEE,2018:2569-2578.
- [30]WU J, YANG G, YANG X, et al. Automatic counting of in situ rice seedlings from UAV images based on a deep fully convolutional neural network[J]. Remote sensing, 2019, 11(6): 691.
- [31]WANG Z, WANG E, ZHU Y. Image segmentation evaluation: a survey of methods[J]. Artificial intelligence review, 2020, 53: 5637-5674.
- [32]LI D, LI J, XIANG S, et al. PSegNet: simultaneous semantic and instance segmentation for point clouds of plants[J]. Plant phenomics,2022,2022:9787643.
- [33]LE LOUËDEC J, CIELNIAK G. 3D shape sensing and deep learning-based segmentation of strawberries[J]. Computers and electronics in agriculture, 2021, 190: 106374.

【作者简介】

蒋心恺(2002—),男,江苏苏州人,本科,研究方向: 图像处理、深度学习技术。

吴金涛(1993—),通信作者(email:wjt@nuist.edu.cn),男,安徽芜湖人,博士,研究方向:农业遥感、服务计算、3D点云。

王锐(2002—), 男, 江苏苏州人, 本科, 研究方向: 边缘智能, 服务缓存。

王明亮(1989—), 男, 江苏盐城人, 博士, 研究方向: 计算机视觉、医疗影像处理。

杨浩(1983—), 男, 湖北天门人, 博士, 研究方向: 农业遥感、智慧农业。

(收稿日期: 2024-02-18)